

## РАДИОФИЗИКА, ЭЛЕКТРОНИКА, АКУСТИКА

**Спектральная плотность мощности условного марковского импульсного процесса**Ю. В. Ушаков<sup>a</sup>, А. А. Дубков<sup>b</sup>*Нижегородский государственный университет имени Н. И. Лобачевского, радиофизический факультет, кафедра математики. Россия, 603950, г. Нижний Новгород, просп. Гагарина, д. 23.**E-mail: <sup>a</sup>nomah@list.ru, <sup>b</sup>dubkov@rf.unn.ru*

Статья поступила 16.02.2010, подписана в печать 28.04.2010

На примере модели нейронной системы, генерирующей условную марковскую последовательность дельта-импульсов, показана процедура вывода выражения для оценки спектральной плотности мощности такого сигнала.

**Ключевые слова:** немарковский процесс, скрытый марковский процесс, условный марковский процесс, нейрон, спайк, спектральная плотность мощности.

УДК: 537.86, 621.371.399, 519.21. PACS: 05.40.-a, 02.50.Ey, 02.50.Ga.

**Введение**

Многие физические и биологические процессы могут быть описаны как точечные, т. е. в виде последовательности случайных точек на оси времени. Типичными примерами являются импульсные сигналы нервных клеток (нейронов), функционирующих в существенно зашумленной среде нервной системы [1], а также скачкообразное поведение интенсивности излучения лазера в некоторых практически интересных режимах работы [2]. Актуальность спектрального анализа таких процессов не вызывает сомнений. Однако аналитический подход в этой области вызывает серьезные затруднения в том случае, когда точечный процесс не является процессом восстановления. В настоящей работе рассматривается немарковская последовательность импульсов действия (спайков) модели нейрона, которая, согласно результатам статьи [3], может быть описана скрытой марковской цепью, т. е. является условным марковским процессом [4]. Предложено аналитическое выражение для оценки спектральной плотности мощности (СПМ) такого рода процессов.

В первом разделе статьи дано описание исследуемой модели и необходимых для дальнейшего изложения результатов работы [3]. Во втором разделе описывается хорошо известная процедура вывода общего выражения для СПМ точечных процессов, дальнейшее развитие которой в третьем разделе приводит к выводу формулы СПМ процесса со скрытой марковской цепью и результатам ее использования в изучаемой системе.

**1. Модель**

Рассмотрим кратко результаты работы [3]. Изучаемая система является моделью нейронного ансамбля слухового анализатора млекопитающих. Она состоит из трех возбудимых элементов, два из которых моделируют периферийные *сенсорные нейроны* (будем называть их *сенсорами*), находящиеся под воздействием гармонических сигналов  $A_{1,2} \cos \Omega_{1,2} t$ , а третий элемент моделирует *интернейрон* (ИН), принимающий спайки

от сенсоров и генерирующий аналогичные спайки, которые передаются другим нейронам. Существенную роль в функционировании нервных клеток играет шумовое воздействие огромного количества «соседей» ( $\sim 10^4$  на нейрон), поэтому в рассматриваемой модели присутствуют аддитивные источники шума. Основным изучаемым в работе объектом является спайковая последовательность ИН. В силу наличия шума в системе и одинаковой формы спайков этот сигнал рассматривается как последовательность случайных межспайковых интервалов (МСИ). Она является немарковской, поскольку на вход ИН поступают спайки сенсоров с неэкспоненциальной плотностью распределения МСИ (РМСИ). Система схематично изображена на рис. 1. В качестве ее базового элемента использовалась безразмерная математическая модель нейрона «пороговый интегратор с утечкой», которая записывается в виде стохастического уравнения Ланжевена:  $\dot{v} = -\mu v + I_{\text{ext}}(t) + \xi(t)$ , где  $v(t)$  — мембранный потенциал нейрона,  $\mu$  — релаксационный параметр,  $I_{\text{ext}}(t)$  — внешний ток,  $\xi(t)$  — белый гауссов шум. Необходимо добавить, что для этой модели нейрона существует

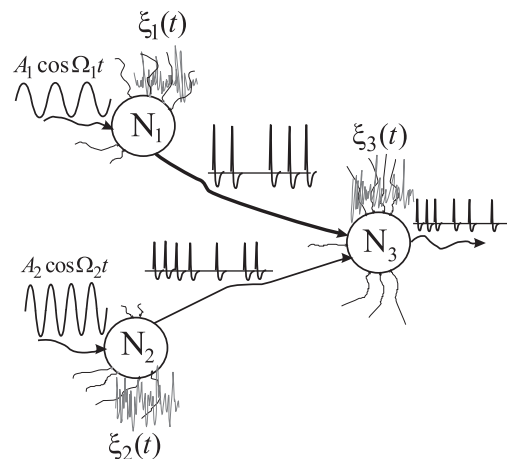


Рис. 1. Исследуемая модель из трех нейронов

граничное условие: при достижении мембранным потенциалом заданного порога  $v_{th}$  подразумевается генерация спайка, и  $v(t)$  сбрасывается в некоторое фиксированное значение. Спайки моделируются дельта-функциями Дирака.

В статье [3] показано, что в том случае, когда частоты гармонических сигналов, действующих на сенсоры, находятся в отношении несократимой дроби:  $\Omega_2/\Omega_1 = m/n$ , ИН можно считать системой с  $M$  состояниями:  $M = m + n - 1$ . В момент генерации спайка ИН переключается из одного состояния в другое, и время для него начинает отсчитываться заново («память» о прежнем движении «стирается»). Зная плотности РМСИ сенсоров, удается получить распределение времени первого достижения (РВПД) порога генерации мембранным потенциалом ИН в каждом возможном состоянии. Любое из этих РВПД устроено таким образом, что каждый его пик, а точнее временной промежуток, в центре которого расположен максимум пика, соответствует переходу в другое состояние и однозначно его определяет. В результате можно изобразить РВПД состояний ИН, как показано на рис. 2, где с помощью обозначения  $(i \rightarrow k)$  отмечены временные промежутки, при попадании в которые межспайкового интервала ИН переключается из состояния  $i$  в состояние  $k$ . Таким образом, для вероятности такого переключения  $\pi_{ik}$

записываем

$$\pi_{ik} = \int_{(i \rightarrow k)} \rho^{(i)}(t) dt$$

и замечаем, что она зависит только от РВПД  $\rho^{(i)}$  в текущем состоянии, т. е. данный, вообще говоря, немарковский процесс может быть описан с помощью *скрытой марковской цепи* с матрицей переходов  $\{\pi_{ik}\}$ . Наблюдаемая последовательность МСИ называется в таком случае *условным марковским процессом* (см. [4, 5]).

Вполне понятно, что вероятностное РМСИ интернейрона  $\rho^{\text{out}}(\tau)$  ( $\tau$  будем использовать для значения случайного МСИ) получается усреднением РВПД по состояниям, для чего необходимо найти стационарные вероятности состояний  $p_i$ , решив систему уравнений [6]

$$\begin{cases} \sum_{i=0}^{M-1} p_i \pi_{ik} = p_k, & k = 1, 2, \dots, M-1, \\ \sum_{i=0}^{M-1} p_i = 1. \end{cases}$$

В итоге находим  $\rho^{\text{out}}(\tau) = \sum_{i=0}^{M-1} p_i \rho^{(i)}(\tau)$ , которое удобно сравнить с РМСИ ИН, полученным численно, и найти вполне приемлемое сходство (рис. 2,  $\delta$ ), подтвержда-

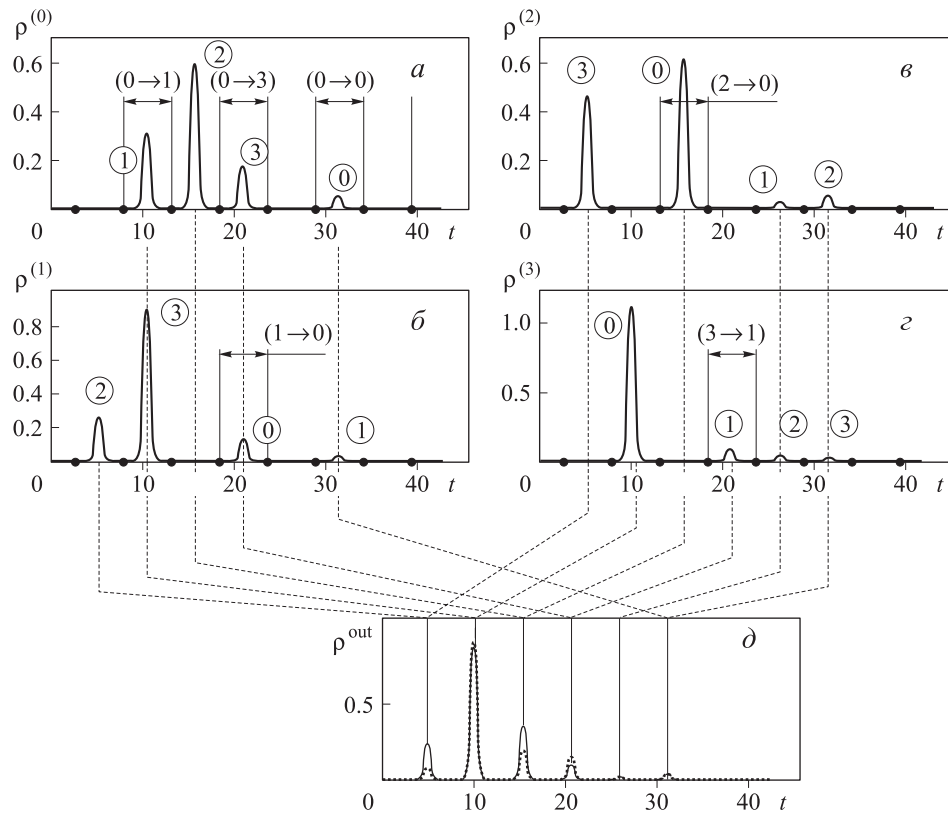


Рис. 2. РВПД состояний (а, б, в, г) и результирующее РМСИ (д) интернейрона при  $\Omega_1 = 0.4$ ,  $\Omega_2 = (3/2)\Omega_1$ . Тонкой пунктирной линией показано соответствие пиков РМСИ и РВПД. Цифры в окружностях показывают, в какое состояние переходит ИН, если в текущем состоянии генерирует МСИ, попадающий в область помеченного пика. Цифры со стрелкой в скобках  $(i \rightarrow k)$  также обозначают некоторые промежутки, в которые должен попасть МСИ для переключения ИН из состояния  $i$  в состояние  $k$ . На графике  $\delta$  тонкая сплошная кривая изображает теоретический результат, а жирная пунктирная — результат численного моделирования

ющее определенную степень справедливости предыдущих рассуждений.

## 2. Общее выражение для СПМ

Рассмотрим несложную процедуру вывода выражения для СПМ импульсного процесса на конкретном примере исследуемого сигнала, являющегося последовательностью дельта-функций:

$$s(t) = \sum_{r=1}^{\infty} \delta(t - t_r),$$

где  $t_r$  — момент генерации  $r$ -го спайка ИН.

Для этого вводится комплексная амплитуда сигнала  $C(j\omega) = \int_0^T s(t) e^{-j\omega t} dt$ , и тогда СПМ может быть найдена как предел [7]

$$S(\omega) = \lim_{T \rightarrow \infty} \frac{\langle |C(j\omega)|^2 \rangle}{T}. \quad (1)$$

Рассмотрим одну реализацию достаточно большой длительности  $T$ , содержащую большое число спайков  $N$ . Для изучаемого процесса справедливо полагать длину среднего МСИ  $\langle \tau \rangle = T/N$  [8]. Тогда выражение (1) без труда сводится к следующему:

$$S(\omega) = \frac{1}{\langle \tau \rangle} \left\{ 1 + \lim_{N \rightarrow \infty} \frac{2}{N} \operatorname{Re} \left[ \sum_{r=2}^N \sum_{q=1}^{r-1} \langle e^{j\omega(t_r - t_q)} \rangle \right] \right\}. \quad (2)$$

В случае независимых МСИ (процесс восстановления), что имеет место, например, для МСИ сенсоров, среднее от комплексной экспоненты в выражении (2) распадается на произведение средних для отдельных интервалов, и усреднение выполняется с помощью известного РМСИ  $\rho(\tau)$  сенсора. Двойное суммирование последовательно вычисляется по формуле для суммы геометрической прогрессии, и после несложных преобразований [7] получается формула

$$S_{\tau - \langle \tau \rangle}(\omega) = \frac{2}{\langle \tau \rangle} \frac{1 - |\theta(\omega)|^2}{|1 - \theta(\omega)|^2}, \quad (3)$$

где  $\theta(\omega) = \int \rho(\tau) e^{j\omega\tau} d\tau$  — характеристическая функция последовательности МСИ сенсора, а  $S_{\tau - \langle \tau \rangle}(\omega)$  — СПМ флюктуаций сигнала. Знак интеграла без пределов здесь и далее означает интегрирование от 0 до  $\infty$ .

## 3. Условный марковский процесс

В первом разделе была показана возможность рассмотрения процесса генерации МСИ интернейрона как условного марковского процесса. В каждом из скрытых состояний известно время первого достижения порога генерации. При этом генерация того или иного интервала  $\tau$  означает переключение в соответствующее состояние. В общем случае усреднение в выражении (2) проводится следующим образом:

$$\langle e^{j\omega(t_r - t_q)} \rangle = \int \dots \int e^{j\omega(\tau_r + \tau_{r+1} + \dots + \tau_{q-1})} \times \rho(\tau_r, \tau_{r+1}, \dots, \tau_{q-1}) d\tau_r \dots d\tau_{q-1}, \quad (4)$$

где  $\tau_i = t_{i+1} - t_i$  — случайный МСИ, а  $\rho(\tau_r, \tau_{r+1}, \dots, \tau_{q-1})$  — совместная плотность вероятности выпадения подряд межспайковых интервалов  $\tau_r, \tau_{r+1}$  и т. д.

Рассмотрим для наглядности частный случай

$$\langle e^{j\omega(t_4 - t_1)} \rangle = \langle e^{j\omega(\tau_1 + \tau_2 + \tau_3)} \rangle = \int e^{j\omega\tau_1} \rho(\tau_1) d\tau_1 \times \int e^{j\omega\tau_2} \rho(\tau_2/\tau_1) d\tau_2 \int e^{j\omega\tau_3} \rho(\tau_3/\tau_1, \tau_2) d\tau_3. \quad (5)$$

В силу стационарности процесса усреднение не должно зависеть от того, в каком месте на оси времени берется первый МСИ в степени комплексной экспоненты, т. е. среднее зависит только от количества МСИ усреднения:  $\langle e^{j\omega(t_4 - t_1)} \rangle = f_3(\omega)$ , или в общем случае

$$\langle e^{j\omega(t_r - t_q)} \rangle = f_{r-q}(\omega). \quad (6)$$

Таким образом, будем считать, что генерация случайного значения  $\tau_1$  происходит в некотором неизвестном состоянии  $i$ . А так как все состояния и сами имеют определенные вероятности выпадения  $p_i$  в скрытой цепи Маркова, необходимо провести соответствующее усреднение. Поэтому

$$\rho(\tau_1) = \sum_{i=0}^{M-1} p_i \rho^{(i)}(\tau_1) = \rho^{\text{out}}(\tau_1). \quad (7)$$

Если случайное значение  $\tau_1$  выпадает, когда ИН находится в  $i$ -м состоянии, то длина интервала  $\tau_1$  определяет состояние  $k$ , в которое переключается ИН, согласно  $\rho^{(i)}(\tau_1)$ . После переключения в  $k$ -е состояние случайная величина второго МСИ  $\tau_2$  определяется плотностью  $\rho^{(k)}(\tau_2)$ . Таким образом, для первой условной плотности вероятности в (5) имеем

$$\rho(\tau_2/\tau_1) = \begin{cases} \rho^{(0)}(\tau_2), & \text{при } \tau_1 \epsilon(i \rightarrow 0), \\ \rho^{(1)}(\tau_2), & \text{при } \tau_1 \epsilon(i \rightarrow 1), \\ \dots, \\ \rho^{(M-1)}(\tau_2), & \text{при } \tau_1 \epsilon(i \rightarrow M-1) \end{cases} \quad (8)$$

(для примера см. рис. 2).

Вообще говоря, для некоторого  $\rho^{(i)}(\tau)$  промежутки значений  $\tau$ , переключающие ИН в некоторое состояние  $k$ , циклически повторяются. Однако в интересующих частных случаях число ненулевых пиков всякого  $\rho^{(i)}(\tau)$  меньше или равно числу состояний  $M$ . Поэтому предполагается однозначное соответствие пиков и состояний. В результате выражение (5) с учетом (6)–(8) переписывается в следующем виде:

$$f_3(\omega) = \sum_{i,k=0}^{M-1} p_i \int_{(i \rightarrow k)} e^{j\omega\tau_1} \rho^{(i)}(\tau_1) d\tau_1 \times \int e^{j\omega\tau_2} \rho^{(k)}(\tau_2) d\tau_2 \int e^{j\omega\tau_3} \rho(\tau_3/\tau_1, \tau_2) d\tau_3. \quad (9)$$

Условная плотность вероятности  $\rho(\tau_3/\tau_1, \tau_2)$  рассматривается аналогичным образом, из чего следует независимость переменных интегрирования в выражении (9) и становится возможным записать следующее:

$$f_3(\omega) = \sum_{i,k,l=0}^{M-1} p_i \int_{(i \rightarrow k)} e^{j\omega t} \rho^{(i)}(t) dt \times$$

$$\times \int_{(k \rightarrow l)} e^{j\omega t} \rho^{(k)}(t) dt \int e^{j\omega t} \rho^{(l)}(t) dt. \quad (10)$$

Очевидно, что усреднение комплексной экспоненты с большим числом МСИ в показателе выполняется просто добавлением необходимого числа операций суммирования и соответствующих интегралов.

По аналогии с определением характеристической функции введем обозначения

$$\theta_i(\omega) = \int \rho^{(i)}(t) e^{j\omega t} dt, \quad \theta_{ik}(\omega) = \int_{(i \rightarrow k)} \rho^{(i)}(t) e^{j\omega t} dt.$$

Очевидно,  $\theta_i(\omega) = \sum_{k=0}^{M-1} \theta_{ik}(\omega)$ . В итоге выражение (10) для произвольного числа МСИ  $n$  коротко записывается в векторно-матричной форме

$$f_n(\omega) = \mathbf{p} \Theta^{n-1}(\omega) \boldsymbol{\theta}(\omega), \quad (11)$$

где  $\mathbf{p}$  — вектор-строка с элементами  $p_0, p_1, \dots, p_{M-1}$ ,  $\boldsymbol{\theta}(\omega)$  — матрица  $M \times M$  с элементами  $\theta_{ik}(\omega)$ , которая возводится в степень  $n-1$ , а  $\boldsymbol{\theta}(\omega)$  — вектор-столбец с элементами  $\theta_0(\omega), \theta_1(\omega), \dots, \theta_{M-1}(\omega)$ . И выражение (2) с учетом (6) приводится к следующему:

$$S(\omega) = \frac{1}{\langle \tau \rangle} \left\{ 1 + 2 \lim_{N \rightarrow \infty} \operatorname{Re} \left[ \sum_{n=1}^{N-1} \left( 1 - \frac{n}{N} \right) f_n(\omega) \right] \right\}. \quad (12)$$

При  $\omega \neq 0$  по крайней мере одна из норм матрицы  $\boldsymbol{\Theta}(\omega)$ , а именно  $\|\boldsymbol{\Theta}(\omega)\| = \max_i \sum_j |\theta_{ij}(\omega)|$ , очевидно, не превышает единицы. Этого условия достаточно [9] для сходимости матричного ряда в выражении (12) при  $N \rightarrow \infty$ . Применяя формулу суммирования убывающей геометрической прогрессии, получаем конечное выражение СПМ спайковой последовательности ИН

$$S(\omega) = \frac{1}{\langle \tau \rangle} \{ 1 + 2\mathbf{p} \operatorname{Re} [\mathbf{E} - \boldsymbol{\Theta}(\omega)]^{-1} \boldsymbol{\theta}(\omega) \}, \quad (13)$$

где  $\mathbf{E}$  — единичная матрица и  $[\mathbf{E} - \boldsymbol{\Theta}(\omega)]^{-1}$  — матрица, обратная к  $(\mathbf{E} - \boldsymbol{\Theta}(\omega))$ .

На рис. 3–5 сплошными кривыми изображены СПМ спайковой последовательности ИН для различных отношений частот  $\Omega_1/\Omega_2$ . На тех же графиках пунктирными кривыми показаны результаты, полученные по формуле (3), т. е. в предположении, что РМСИ ИН  $\rho^{\text{out}}(\tau)$  имеет место для независимых одинаково распределенных МСИ и  $\theta(\omega) = \int \rho^{\text{out}}(t) e^{j\omega t} dt$ . Хорошо видно, что полученная таким образом кривая отражает усредненную зависимость  $S(\omega)$  и в некоторых случаях (рис. 3 и 4) «упускает» многие детали СПМ в практике.

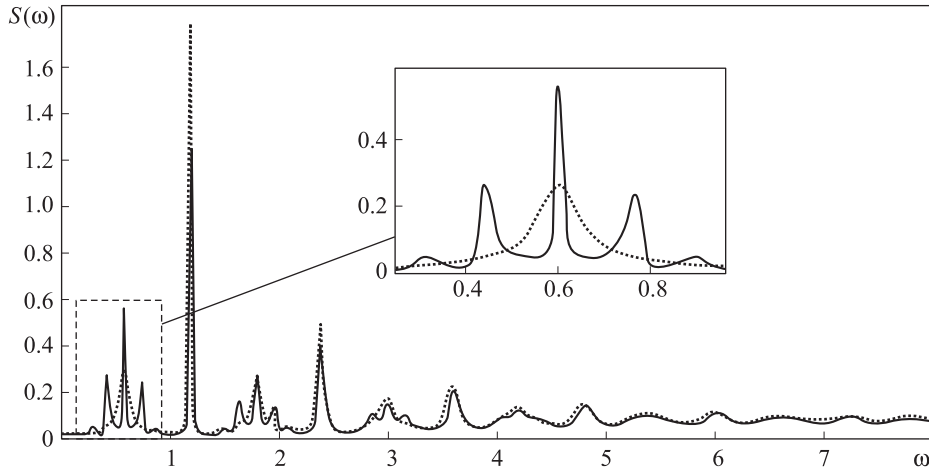


Рис. 3. СПМ спайковой последовательности ИН.  $\Omega_1 = 0.4$ ,  $\Omega_2 = (3/2)\Omega_1$

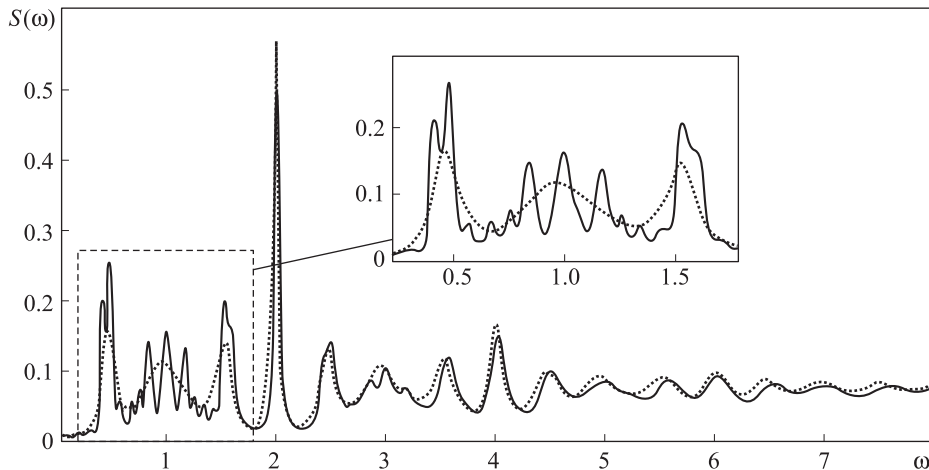


Рис. 4. СПМ спайковой последовательности ИН.  $\Omega_1 = 0.4$ ,  $\Omega_2 = (5/4)\Omega_1$

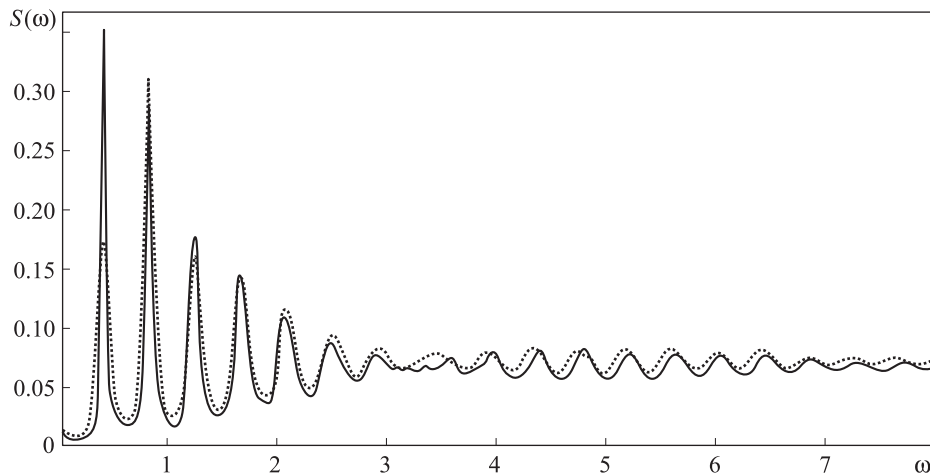


Рис. 5. СПМ спайковой последовательности ИН.  $\Omega_1 = 0.4$ ,  $\Omega_2 = (16/15)\Omega_1$

тически важной низкочастотной области. Однако для случая, изображенного на рис. 5, сплошная и точечная кривые очень схожи: в этом построении частоты  $\Omega_1$  и  $\Omega_2$  мало отличаются, и пики СПМ «расставлены» на частотах, кратных средней частоте входных гармонических сигналов ( $\Omega_1 + \Omega_2$ )/2.

### Заключение

В работе представлена процедура вывода выражения для оценки СПМ условного марковского процесса для вполне конкретной математической модели. Однако такая модель может быть использована в достаточно широком круге приложений, поскольку без труда и принципиальных сложностей дополняется большим числом входных и промежуточных элементов. Подобные модели находят применение при изучении сенсорных нейронных систем [10], а скрытая марковская модель вообще активно используется для распознавания речи, графических символов и других задач цифровой обработки сигналов [11]. Таким образом, результаты проведенного в настоящей работе анализа могут быть весьма полезны, по крайней мере в указанных областях исследований.

Работа выполнена при финансовой поддержке РФФИ (грант 08-02-01259-а).

### Список литературы

1. Gerstner W., Kistler W.M. Spiking Neuron Models. Single Neurons, Populations, Plasticity. Cambridge, 2002.
2. Arechi F.T., Meucci R. // Eur. Phys. J. B. 2009. **69**. P. 93.
3. Ушаков Ю.В. // Вестн. ННГУ. Радиофизика. 2010. В печати.
4. Стратонович Р.Л. Условные марковские процессы и их применение к теории оптимального управления. М., 1965.
5. Rabiner L.R. // Proc. IEEE. 1989. **77**, N 2. P. 257.
6. Тихонов В.И., Миронов М.А. Марковские процессы. М., 1977.
7. Стратонович Р.Л. Избранные вопросы теории флюктуаций в радиотехнике. М., 1961.
8. Тихонов В.И. Статистическая радиотехника. М., 1966.
9. Приклонский В.И. Численные методы. М., 1999.
10. Lopera A., Buldu J.M., Torrent M.C. et al. // Phys. Rev. E. 2006. **73**. P. 021101.
11. Королёв А.В., Силаев А.М. // Изв. вузов. Радиофизика. 2005. **XLVIII**, № 4. С. 358.

### Power spectral density of the conditional Markov pulse process

**Yu. V. Ushakov<sup>a</sup>, A. A. Dubkov<sup>b</sup>**

Department of Mathematics, Faculty of Radiophysics, N.I. Lobachevsky Nizhnii Novgorod State University,  
23 Gagarin ave., Nizhnii Novgorod 603950, Russia.

E-mail: <sup>a</sup>nomah@list.ru, <sup>b</sup>dubkov@rf.unn.ru.

The procedure of power spectral density expression obtaining is provided for the example of the neural system model generating conditional Markov series of delta-pulses.

**Keywords:** non-Markov process, hidden Markov process, conditional Markov process, neuron, spike, power spectral density.

**PACS:** 05.40.-a, 02.50.Ey, 02.50.Ga.

*Received 16 February 2010.*

English version: *Moscow University Physics Bulletin* 5(2010).

### Сведения об авторах

1. Ушаков Юрий Владимирович — ассистент (ННГУ); тел.: (831) 462-32-81, e-mail: nomah@list.ru.
2. Дубков Александр Александрович — канд. физ.-мат. наук, доцент, зав. кафедрой (ННГУ); тел.: (831) 462-32-81, e-mail: dubkov@rf.unn.ru.